

CONSTRUCCIÓN TWIST DEL C-MAP

Oscar Macia (U. Valencia)
(en colaboración con A. Swann)

Zaragoza
Enero 31, 2017

1 Planning

Introducción y motivación. c-map

Interludio: Construcción geométrico–diferencial del
c-map
(versión pre-twist)

Twist y correspondencia hK/qK

2 Planning 1/3

Introducción y motivación. c-map

3 La lista de Berger

Teorema

Sea M una variedad Riemanniana n -dimensional simplemente conexa, orientada, que no es localmente un producto, ni simétrica. Entonces su grupo de holonomía pertenece a la siguiente lista:

M. Berger (1955)

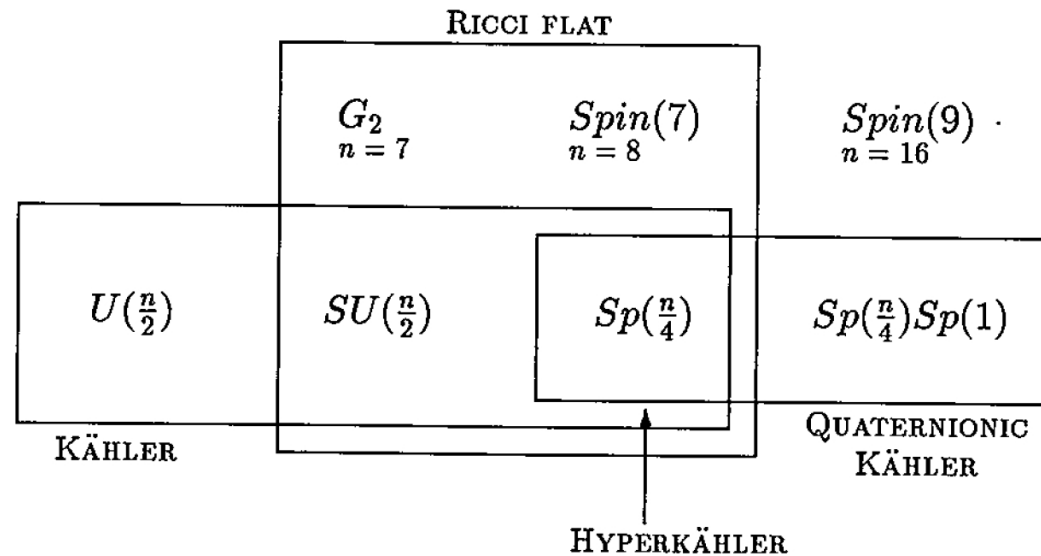


image credit: S.M. Salamon (1989)

4 Variedades Kählerianas (K)

$$(M^{2m}, g) + \{\text{Hol} \subseteq U(m)\} \Rightarrow K$$

$$U(m) = SO(2m) \cap Sp(m, \mathbb{R}) \subset GL(m, \mathbb{C})$$

$$U(m) \subset GL(m, \mathbb{C}) \Rightarrow \exists I \in \text{End}(TM) : I^2 = -Id$$
$$d\Lambda^{1,0} \subset \Lambda^{2,0} \oplus \Lambda^{1,1}$$

$$U(m) \subset SO(2m) \Rightarrow g(IX, IY) = g(X, Y)$$

$$U(m) \subset Sp(m, \mathbb{R}) \Rightarrow \omega(X, Y) = g(IX, Y) \in \Lambda^2 T^*M$$
$$d\omega = 0$$

5 Variedades quaternionicas Kähler (QK)

$$(M^{4k}, g) + \{\text{Hol} \subseteq \text{Sp}(k)\text{Sp}(1)\} \Rightarrow \text{QK}$$

$$\exists I, J, K \in \Gamma \text{End} TM : I^2 = J^2 = K^2 = IJK = -Id$$

$$g(AX, AY) = g(X, Y) \quad A = I, J, K$$

$$\omega_A(X, Y) = g(AX, Y) \in \Lambda^2 T^*M$$

$$\Omega = \sum_A \omega_A^2 \in \Lambda^4 T^*M \quad \nabla \Omega = 0.$$

$$\text{Sp}(k)\text{Sp}(1) \not\subseteq U(m) \Rightarrow \text{QK} \not\subseteq \text{K}$$

$$\text{Hol} \subsetneq \text{Sp}(k)\text{Sp}(1) \Rightarrow \begin{cases} * \text{Hol} \subseteq \text{Sp}(k) \subset \text{Sp}(k)\text{Sp}(1) \Rightarrow \text{HK} \\ * M \text{ espacio simétrico} \end{cases}$$

6 Variedades hiperkählerianas (HK)

$$(M^{4k}, g) + \{\text{Hol} \subseteq \text{Sp}(k)\} \Rightarrow \text{HK}$$

$$\text{Sp}(k) \subset \text{U}(m) \Rightarrow \text{HK} \subset \text{K}$$

$$\exists I, J, K \in \Gamma \text{End} TM : I^2 = J^2 = K^2 = IJK = -Id$$

$$\omega_A \in \Lambda^2 T^*M \quad d\omega_I = d\omega_J = d\omega_K = 0.$$

Curvatura

$$\text{QK} \Rightarrow \text{Einstein}$$

$$\text{QK} + \{s = 0\} \Rightarrow \text{HK}$$

7 (Primera) Motivación

Espacios de Wolf

	$\mathbb{H}P^n$,	$\text{Gr}_2(\mathbb{C}^{n+2})$,	$\text{Gr}_4(\mathbb{R}^{n+4})$	
G_2	F_4	E_6	E_7	E_8
$\overline{SO(4)}$	$\overline{Sp(3)Sp(1)}$	$\overline{SU(6)Sp(1)}$	$\overline{Spin(12)Sp(1)}$	$\overline{E_7Sp(1)}$

Espacios de Alekseevsky

\exists espacios homogéneos, no simétricos, QK con $s < 0$.

8 (Primera) Motivación

Espacios de Wolf

	$\mathbb{H}P^n$,	$\text{Gr}_2(\mathbb{C}^{n+2})$,	$\text{Gr}_4(\mathbb{R}^{n+4})$	
G_2	F_4	E_6	E_7	E_8
$\overline{\text{SO}(4)}$	$\overline{\text{Sp}(3)\text{Sp}(1)}$	$\overline{\text{SU}(6)\text{Sp}(1)}$	$\overline{\text{Spin}(12)\text{Sp}(1)}$	$\overline{E_7\text{Sp}(1)}$

Espacios de Alekseevsky

\exists espacios homogéneos, no simétricos, QK con $s < 0$.

1. Encontrar ejemplos explícitos de variedades QK

“The mathematical problems that have been solved or techniques that have arisen out of physics in the past have been the lifeblood of mathematics.”

Sir Michael F. Atiyah *Collected Works Vol. 1 (1988), 19, p.13*

9 Dualidad-T y c-map

Dualidad-T

$$\text{IIA} \longleftrightarrow \text{IIB}$$

c-map

$$K_1 \times QK_2 \times \mathbb{C}H(1) \longrightarrow K_2 \times QK_1 \times \mathbb{C}H(1)$$

$$K^{2m} \xrightarrow{\text{c-map}} QK^{4(m+1)}$$

Cecotti, Ferrara & Girardello (1989), Ferrara & Sabharwal (1990)

c-map rígido

$$K^{2m} \xrightarrow{\text{c-map rígido}} HK^{4m}$$

10 **SUGRA** $N = 2, D = 4$

Kaluza-Klein $4D \rightarrow 3D$

Multiplete Gravitacional

$4D$	#s	$3D$	#s	*	#s
$V_{\hat{\mu}}^i$ ψ^Λ		$V_\mu^i, A_\mu, e^{2\sigma}$ ψ^Λ	1	V_μ^i, a, ϕ ψ^Λ	2
$A_{\hat{\mu}}^0$		A_0^0, A_μ^0	1	$\zeta^0, \tilde{\zeta}^0$	2

m Multipletes vectoriales

$4D$	#s	$3D$	#s	*	#s
$A_{\hat{\mu}}^i$		A_0^i, A_μ^i	m	$\zeta^i, \tilde{\zeta}^i$	2m
λ_Λ^i ϕ^i	2m, \mathbb{R}	λ_Λ^i ϕ^i	2m	λ_Λ^i ϕ^i	2m

11 Planning 2/3

Introducción y motivación: c-map.

**Interludio: Construcción
geométrico–diferencial del c-map
(versión pre-twist)**

12 (Segunda) Motivación

2. Dar una construcción geométrica del c-map.

$$K^{2m} \xrightarrow{\text{c-map}} QK^{4(m+1)}$$

En realidad ...

$$PSK^{2m} \xrightarrow{\text{c-map}} QK^{4(m+1)}$$

13 Variedades Kählerianas especiales I

Variedad Kähleriana especial, SK

$$\text{SK} = (\text{K}, \nabla^s)$$

1. $\nabla^s \omega = 0$,
2. $\text{R}(\nabla^s) = \text{T}(\nabla^s) = 0$,
3. $\nabla_X^s IY = \nabla_Y^s IX$ (“condición especial”)

Variedad Kähleriana especial cónica, CSK

$$\text{CSK} = (\text{SK}, X) \quad X \in \mathfrak{X}M$$

1. $g(X, X) \neq 0$;
2. $\nabla^\omega X = -I = \nabla^g X$.

14 Variedades Kählerianas especiales II

* Mapa momento

$$\mu : M \rightarrow \mathbb{R} : p \mapsto \|X_p\|^2$$

Variedad Kaehleriana especial proyectiva, PSK

$$\text{PSK} = \text{CSK} //_c X = \mu^{-1}(c) / X \quad c \in \mathbf{R}$$

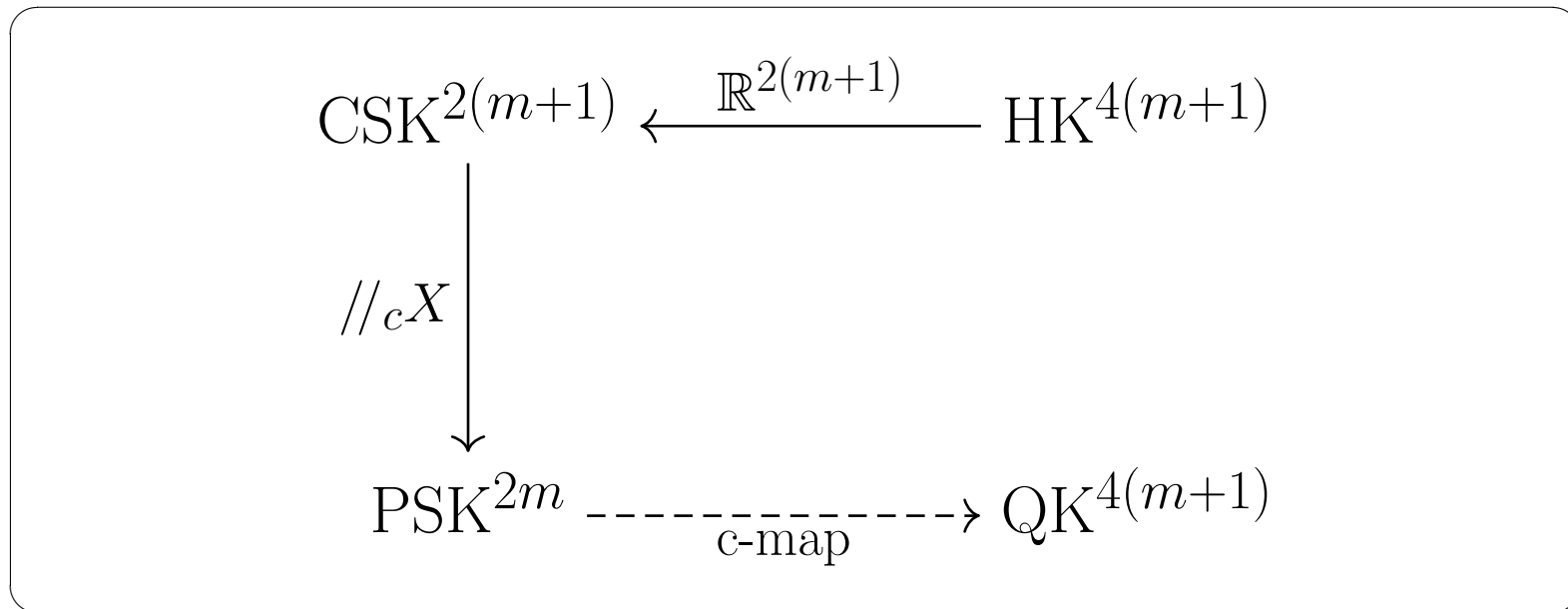
$$\begin{array}{ccc} \text{CSK}_0 = \mu^{-1}(c) & \longrightarrow & \text{CSK} \\ \downarrow & & \\ \text{CSK} //_c X & = & \text{PSK} \end{array}$$

15 **Panorama general temp**

$$\begin{array}{ccc} \text{CSK}^{2(m+1)} & & \\ \downarrow //_{cX} & & \\ \text{PSK}^{2m} & \xrightarrow{\text{c-map}} & \text{QK}^{4(m+1)} \end{array}$$

$$T^*\text{CSK} \equiv \text{HK}$$

16 Correspondencia $\mathfrak{hK}/\mathfrak{qK}$



Haydys (2008), Hitchin (2009, 2011), Cortes et al. (2013)

17 Planning 3/3

Introducción y motivación física del c-map

Interludio: Construcción geométrico–diferencial del
c-map
(versión pre-twist)

Twist y correspondencia hK/qK

18 El Twist

$$\begin{array}{ccc}
 Y \in \mathfrak{X}P : S^1 \hookrightarrow P & & \\
 \pi \swarrow & & \searrow \pi_W \\
 X \in \mathfrak{X}M : S^1 \hookrightarrow M^n & \dashrightarrow_{\text{twist}} & W^n = P / \langle X' \rangle
 \end{array}$$

A. Swann, (2007, 2010)

1. $P(M, S^1)$: conexión θ , curvatura $\pi_M^* F = d\theta$.
2. $L_X F = 0$
3. $X' = X^\theta + aY \in \mathfrak{X}P$: tal que $L_{X'}\theta = L_{X'}Y = 0$.
4. $W = P / \langle X' \rangle$ con acción inducida por Y .

19 Twist data

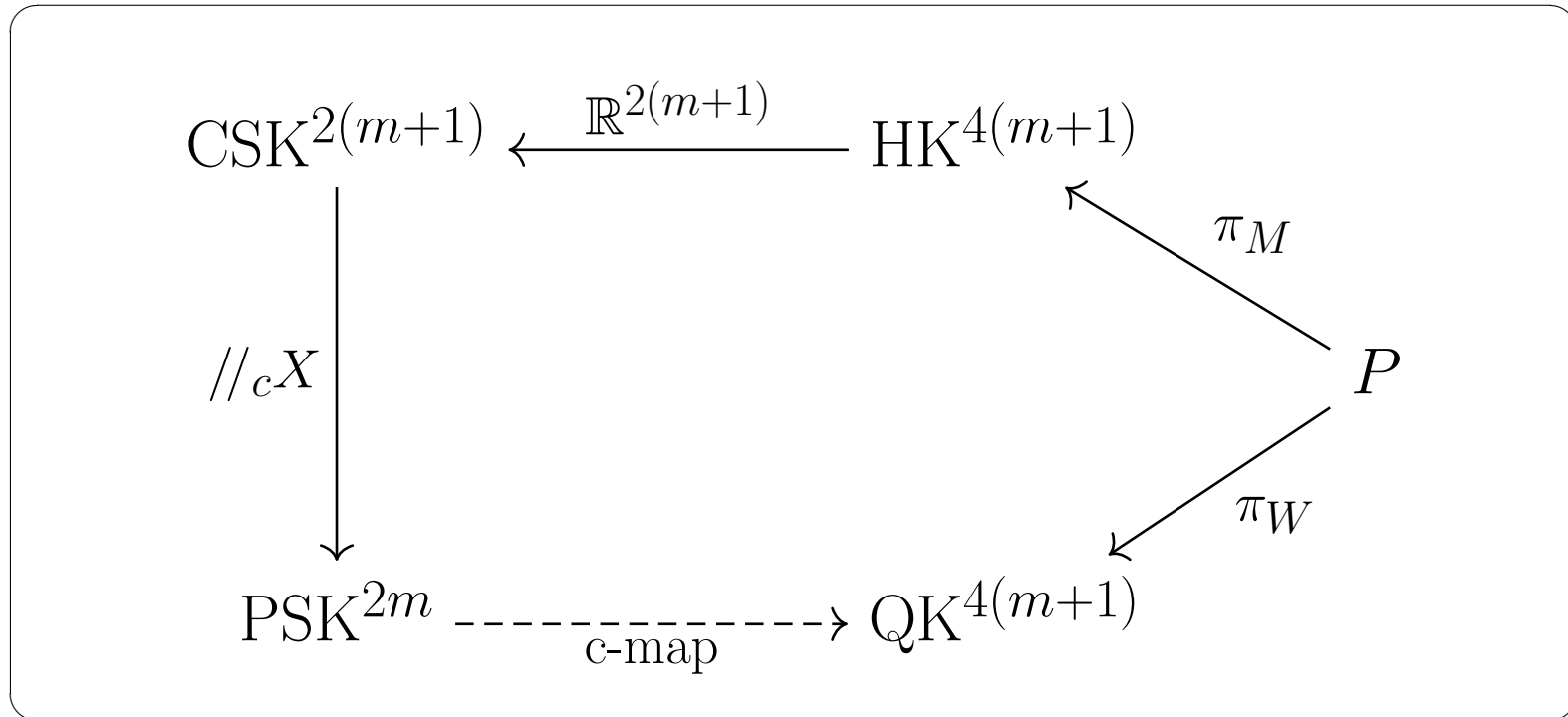
$$(M, X, F, a) \implies \begin{array}{ccc} & P & \\ \pi_M \swarrow & & \searrow \pi_W \\ M & & W \end{array}$$

Twist data

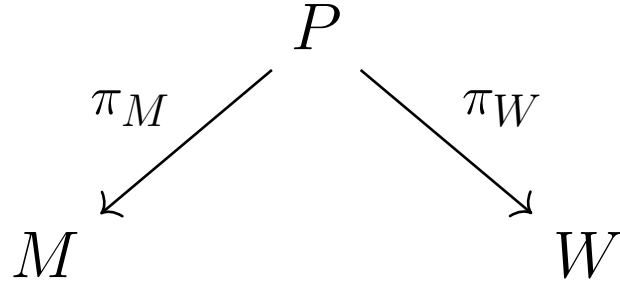
- 1) M , una variedad C^∞ .
- 2) $X \in \mathfrak{X}M$, generando la acción de S^1 .
- 3) $F \in \Omega^2 M$, X -invariante, con periodos enteros.
- 4) $a \in C^\infty M$ tal que

$$da = -X \lrcorner F$$

20 Idea: Twist vs hK/qK



21 Tensores \mathcal{H} -relacionados



$$\begin{aligned}
 T_p P &= \mathcal{H}_p + \mathcal{V}_p \\
 \mathcal{H}_p &\cong T_{\pi(p)} M \cong T_{\pi_W(p)} W
 \end{aligned}$$

 $\sim_{\mathcal{H}}$

$$\begin{aligned}
 \alpha \in \mathbf{T}M, \quad \alpha_W \in \mathbf{T}W \\
 \alpha \sim_{\mathcal{H}} \alpha_W \iff (\pi_M^* \alpha)|_{\mathcal{H}} = (\pi_W^* \alpha_W)|_{\mathcal{H}}
 \end{aligned}$$

Lema

$$\alpha \in \Omega^p M^X \Rightarrow \exists! \alpha_W \in \Omega^p W : \alpha_W \sim_{\mathcal{H}} \alpha$$

$$\pi_W^* \alpha_W = \pi^* \alpha - \theta \wedge \pi^*(a^{-1} X \lrcorner \alpha)$$

22 Calculando el twist

$$\left\{ \begin{array}{l} d\alpha_W \\ \alpha \in \Omega^p M^X, \\ d\alpha_W \sim_{\mathcal{H}} d\alpha - \frac{1}{a} F \wedge (X \lrcorner \alpha). \end{array} \right.$$

$$\left\{ \begin{array}{l} \text{Twisted exterior differential, } d_W \\ \alpha_W \sim_{\mathcal{H}} \alpha, \quad d\alpha_W \sim_{\mathcal{H}} d_W \alpha \\ d_W := d - \frac{1}{a} F \wedge X \lrcorner \end{array} \right.$$

23 Twist e Integrabilidad

Caso complejo —

Sea I una estructura compleja invariante en M , \mathcal{H} -relacionada con una estructura casi-compleja I_W en W , I_W es integrable sii $F \in \Omega_I^{1,1} M$.

Caso Kähleriano $K \rightarrow \mathbb{C}$ —

$$\begin{array}{ccc} & S^{2n+1} \times T^2 & \\ \pi_M \swarrow & & \searrow \pi_W \\ \mathbb{C}P^n \times T^2 & & S^{2n+1} \times S^1 \end{array}$$

24 Necesidad de introducir deformaciones

Problema

$$d\alpha = 0 \not\Rightarrow d\alpha_W = 0$$

$$d\alpha_W \sim d_W\alpha = d\alpha - \frac{1}{a}F \wedge (X \lrcorner \alpha) = -\frac{1}{a}F \wedge (X \lrcorner \alpha) \neq 0$$

25 Simetrías de la estructura HK = (M, g, I, J, K)

Simetría giratoria (*rotating*)

$$X \in \mathfrak{X}M$$

$$1. L_X(g) = 0.$$

$$2. L_X(I) = \langle I, J, K \rangle$$

$$3. (a) L_X I = 0, \quad (b) L_X J = K, \quad (c) L_X K = -J$$

26 Deformación elemental de la métrica HK

g_α

$$\mathbb{H}X = \langle X, IX, JX, KX \rangle$$

$$\alpha_0 = g(X, \cdot), \quad \alpha_A = -g(AX, \cdot) \quad (A = I, J, K)$$

$$g_\alpha := \alpha_0^2 + \sum_A \alpha_A^2 \equiv g|_{\mathbb{H}X}$$

g^N , Deformación elemental de la métrica

$$g^N = fg + hg_\alpha, \quad f, g \in \mathcal{C}^\infty M$$

27 Unicidad de la construcción

Teorema

$$(M^{4k}, g, I, J, K)$$

$$X \in \mathfrak{X}M$$

μ

HK, $k \geq 2$

Simetría rotatoria

Mapa momento

$\exists!$ deformación elemental

$$g^N = -\frac{1}{\mu - c}g + \frac{1}{(\mu - c)^2}g_\alpha$$

$\exists!$ twist data

$$F = kG = k(d\alpha_0 + \omega_I), \quad a = k(g(X, X) - \mu + c).$$

W

QK

28 Idea de demostración

1. A partir de g^N y de (I, J, K) construye ω_A^N y Ω^N .
2. Imponemos que un twist arbitrario de Ω^N sea QK .
3. Descomponemos estas ecuaciones en componentes relativas a $TM = \langle \mathbb{H}X \rangle \oplus \langle \mathbb{H}X \rangle^\perp$.
4. Este calculo conduce a $f = f(\mu)$, $h = h(\mu)$ y $h = f'$.
5. La condicion $da = -X \lrcorner F$ determina a .
6. Imponer $dF = 0$ onduce a ODE para determinar f .

GRACIAS